

$$\vec{Z}_i(t) = [Z_i \dot{Z}_i r_{i1} \dot{\theta}_i \theta_i r_{i2}]^T$$

橋梁・車両・路面系の状態変数を \mathbf{x} とすると、これは、

$$\mathbf{x}(t) = [Y(t) \ Z_1^T(t) \ \dots \ Z_m^T(t)]^T \quad \dots \quad (7)$$

で表される。この系は、次の確率微分方程式を満足する。

$$\dot{\mathbf{x}}(t) = A_1 \mathbf{x}(t) + \sum_{i=1}^m \sum_{j=1}^n B_{i,j,e}(t) \quad \dots \dots \dots (8)$$

ここに、例は、(6)式の左辺の白色雜音より構成される、白色雜音過程ベクトルである。

橋梁の応答として、応答の分散に着目する。平均値回りの変動を考えると、これは、 $E[\psi(x,t)^2] = \Psi(x)^T E[\psi(t) \cdot \psi(t)^T] \Psi(x)$ となる。
 従って、 $R \times (4) = E[\psi(t) \cdot \psi(t)^T]$ の解析に帰着する。 $R \times (t)$ の時間的変化は次の共分散方程式で表される。すなわちこの共分散方程式は車両に対する式である。各の車両については譲渡日を考慮する。

$$\dot{\tilde{R}}_{\times}(t) = A_{\parallel} \times(t) \tilde{R}_{\times}(t) + \tilde{R}_{\times}(t) A_{\parallel} \times(t)^T + Q_1(t) + Q_2(t)$$

$$+ \Phi_{21}(t) \Psi_{\infty}(t, t-\tau)^T - \Psi_{\infty}(t, t-\tau) \Phi_{12}(t) \dots \quad (10)$$

ここで、 \mathbb{Q}_1 , \mathbb{Q}_2 , \mathbb{D}_{12} , \mathbb{D}_{21} は $M(t)$ の共分散行列であり、また \mathbb{A} は (10) 式の状態遷移行列で、 $t = \ln/\mu$ である。 (10) 式の \mathbb{D}_{21} , \mathbb{D}_{12} の項は、車軸間の相關を表す項である。簡便法として定常応答を考えることができる。この場合、 (10) 式は連立方程式となる。

$$A \otimes R \otimes A \otimes {}^T\!R_1 + Q_2 + Q_{21} \otimes \pi(\tau) + \pi(\tau) Q_{12} = 0 \quad \text{---(11)}$$

3. 数值解析与考察

3. 数値解析と考察 本研究の解析の対象とした橋梁の概要と諸元を、図-1と表-1に示した。実測および解析に用いたダンプトラックの寸法と諸元を図-4と表-2に示した。解析モデルは、図-2のようなく自由度系モデルである。図-3(A)は実測より得られた路面形状であり、(B)図は凹凸のみを抽出したものである。図から明らかなようにかなりの初期段差がある。図-5は図-3(B)の波形の最大エントロピーメトリーによるハースペクトル密度である。

図-5は、1台の車両を走行させた場合、 $\omega = 14$ 点の動的応答を、解析結果と実測について示したものである。解析結果は路面形状(図-3(A))による応答である。荷重はほぼ良い一致を示している。図-6に、車両が2台走行する場合、車頭間隔をパラメータに、各種の解析結果を示した。なお、解析ではいずれも4次の振動次数まで考慮した。非常応答解析は車両間の相関を無視したものである。定常解析のCase1は、全ての相関を考慮、Case2は車両間の相関を無視したもので、非定常応答解析に対応する。Case3は全ての相関を無視し

たものである。車両間の相関を考慮すると、車頭開障によつて応答が変動する。走行応答解析は、スパン長の長い橋梁では有効な簡便法に利用することが確認できた。図-7は、初期段差を考慮したR.M.S.応答である。スパン長の長い橋梁では、初期段差の変化応答に対する影響は小さい。

[参考文献] (1)川谷・小松:第35回年次講演会, (2)吉村・平井:土木学会論文報告集101号 (3)岡林:第36回年次講演会

表-1 橋梁の諸元

物理量	初期値						
	式番号	113.75 (s)	10.00 (m), 平均 4.00 (m), 歩道 2.00 (m)	7.014 (t/s)	43.11 × 10 ⁴ (cm ⁴)		
歩数	連続二回モード						
等	42.11						
初期値	0.02						
初期値とモード	fn (Hz)	正規化 (DE-14)	(×10 ⁻⁴)				
		a1	a2	a3	a4		
式 3.1	1 次 (s = 1)	1.2986	-0.0611	-3.441	-0.883	-0.212	-0.004
式 3.2	1 次 (s = 2)	0.3376	-0.0444	-3.295	-1.090	-0.272	-0.038
式 3.3	2 次 (s = 3)	1.0595	-0.0535	-0.0535	1.041	-3.310	1.754

表-2 車両の諸元

総重量		24.4 96.5	(t) (t/m)
ばね定数	k 1 k 2	799.1 0.811	(t/m) (t·sec/m)
減衰係数	c 1 c 2	4.642	(t·sec/m)
走行速度	v	36	(km/hr)

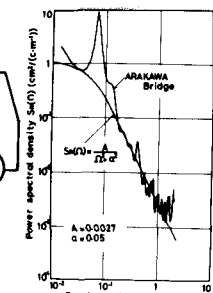
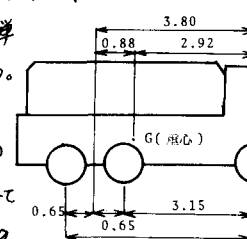
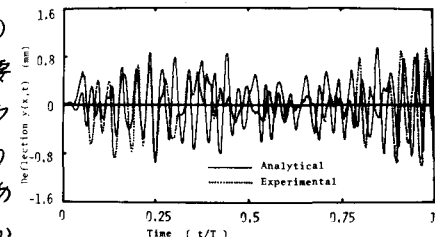


図-5 路面凹凸のスペクトル



(図-5 実測値と解析解(1台走行))

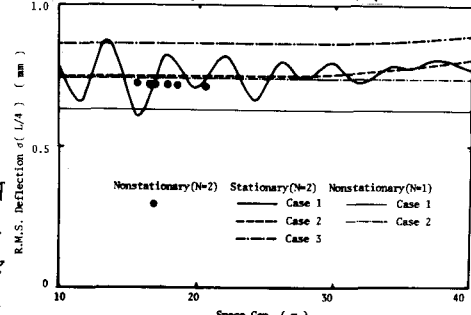


図-6 各種解析による応答の比較

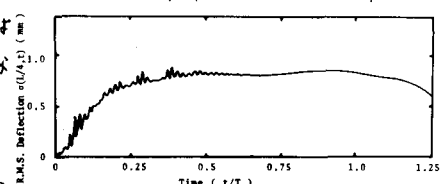


图-7 RMS 变化率